

Starkniederschlagshöhen und -spenden gemäß KOSTRA-DWD-2010R

Auswertungszeitraum von 1951 - 2010, Januar - Dezember

Rasterfeld: 42059

Zeile: 42

Spalte: 59

Seite: 1/2

| Dauerstufe D | | Wiederkehrzeit T | | | | | | | | | | | | | | | | | |
|--------------|-----|------------------|------------|------|------------|------|------------|------|------------|------|------------|------|------------|------|------------|-------|------------|-------|------------|
| | | 1 a | | 2 a | | 3 a | | 5 a | | 10 a | | 20 a | | 30 a | | 50 a | | 100 a | |
| min | Std | mm | l / (s ha) | mm | l / (s ha) | mm | l / (s ha) | mm | l / (s ha) | mm | l / (s ha) | mm | l / (s ha) | mm | l / (s ha) | mm | l / (s ha) | mm | l / (s ha) |
| 5 | | 4,9 | 163,3 | 6,4 | 213,3 | 7,3 | 243,3 | 8,4 | 280,0 | 9,9 | 330,0 | 11,4 | 380,0 | 12,3 | 410,0 | 13,4 | 446,7 | 14,9 | 496,7 |
| 10 | | 7,8 | 130,0 | 9,9 | 165,0 | 11,1 | 185,0 | 12,7 | 211,7 | 14,8 | 246,7 | 16,9 | 281,7 | 18,2 | 303,3 | 19,7 | 328,3 | 21,8 | 363,3 |
| 15 | | 9,7 | 107,8 | 12,3 | 136,7 | 13,8 | 153,3 | 15,7 | 174,4 | 18,2 | 202,2 | 20,8 | 231,1 | 22,3 | 247,8 | 24,2 | 268,9 | 26,8 | 297,8 |
| 20 | | 11,0 | 91,7 | 14,0 | 116,7 | 15,7 | 130,8 | 17,9 | 149,2 | 20,9 | 174,2 | 23,8 | 198,3 | 25,6 | 213,3 | 27,8 | 231,7 | 30,7 | 255,8 |
| 30 | | 12,8 | 71,1 | 16,4 | 91,1 | 18,5 | 102,8 | 21,2 | 117,8 | 24,8 | 137,8 | 28,4 | 157,8 | 30,5 | 169,4 | 33,2 | 184,4 | 36,8 | 204,4 |
| 45 | | 14,4 | 53,3 | 18,8 | 69,6 | 21,3 | 78,9 | 24,6 | 91,1 | 29,0 | 107,4 | 33,4 | 123,7 | 35,9 | 133,0 | 39,2 | 145,2 | 43,6 | 161,5 |
| 60 | | 15,3 | 42,5 | 20,4 | 56,7 | 23,3 | 64,7 | 27,0 | 75,0 | 32,1 | 89,2 | 37,2 | 103,3 | 40,1 | 111,4 | 43,8 | 121,7 | 48,9 | 135,8 |
| 90 | | 16,7 | 30,9 | 22,1 | 40,9 | 25,2 | 46,7 | 29,2 | 54,1 | 34,6 | 64,1 | 40,0 | 74,1 | 43,2 | 80,0 | 47,2 | 87,4 | 52,6 | 97,4 |
| 120 | 2 | 17,7 | 24,6 | 23,4 | 32,5 | 26,7 | 37,1 | 30,9 | 42,9 | 36,6 | 50,8 | 42,2 | 58,6 | 45,5 | 63,2 | 49,7 | 69,0 | 55,4 | 76,9 |
| 180 | 3 | 19,3 | 17,9 | 25,4 | 23,5 | 28,9 | 26,8 | 33,4 | 30,9 | 39,5 | 36,6 | 45,5 | 42,1 | 49,1 | 45,5 | 53,5 | 49,5 | 59,6 | 55,2 |
| 240 | 4 | 20,5 | 14,2 | 26,9 | 18,7 | 30,6 | 21,3 | 35,3 | 24,5 | 41,6 | 28,9 | 48,0 | 33,3 | 51,7 | 35,9 | 56,4 | 39,2 | 62,8 | 43,6 |
| 360 | 6 | 22,4 | 10,4 | 29,2 | 13,5 | 33,1 | 15,3 | 38,2 | 17,7 | 45,0 | 20,8 | 51,8 | 24,0 | 55,7 | 25,8 | 60,7 | 28,1 | 67,5 | 31,3 |
| 540 | 9 | 24,4 | 7,5 | 31,6 | 9,8 | 35,9 | 11,1 | 41,3 | 12,7 | 48,5 | 15,0 | 55,8 | 17,2 | 60,0 | 18,5 | 65,4 | 20,2 | 72,7 | 22,4 |
| 720 | 12 | 25,9 | 6,0 | 33,5 | 7,8 | 38,0 | 8,8 | 43,6 | 10,1 | 51,2 | 11,9 | 58,9 | 13,6 | 63,3 | 14,7 | 68,9 | 15,9 | 76,6 | 17,7 |
| 1080 | 18 | 28,2 | 4,4 | 36,4 | 5,6 | 41,1 | 6,3 | 47,2 | 7,3 | 55,3 | 8,5 | 63,5 | 9,8 | 68,2 | 10,5 | 74,2 | 11,5 | 82,4 | 12,7 |
| 1440 | 24 | 30,0 | 3,5 | 38,5 | 4,5 | 43,6 | 5,0 | 49,9 | 5,8 | 58,4 | 6,8 | 66,9 | 7,7 | 72,0 | 8,3 | 78,3 | 9,1 | 86,8 | 10,0 |
| 2880 | 48 | 34,5 | 2,0 | 45,0 | 2,6 | 51,1 | 3,0 | 58,9 | 3,4 | 69,3 | 4,0 | 79,8 | 4,6 | 85,9 | 5,0 | 93,7 | 5,4 | 104,1 | 6,0 |
| 4320 | 72 | 37,5 | 1,4 | 49,1 | 1,9 | 55,9 | 2,2 | 64,4 | 2,5 | 76,0 | 2,9 | 87,7 | 3,4 | 94,4 | 3,6 | 103,0 | 4,0 | 114,6 | 4,4 |

Angaben in mm: Bemessungsniederschlagswerte h(n)

Angaben in l / (s ha): Regenspende R(n) mit $R(n) = h(n) \times 1,666667 / D[\text{min}]$

Toleranzbereiche:

+/- 10 % für $1 \text{ a} \leq T \leq 5 \text{ a}$

+/- 15 % für $5 \text{ a} < T \leq 50 \text{ a}$

+/- 20 % für $50 \text{ a} < T \leq 100 \text{ a}$

Datenbasis: KOSTRA-DWD-2010R des Deutschen Wetterdienstes. Die Regenspende wurde auf Basis des Bemessungsniederschlags zur jeweiligen Andauer berechnet.

Für die Richtigkeit und Aktualität der Angaben wird keine Gewähr übernommen. Erstellt 07/2022.

Starkniederschlagshöhen und -spenden gemäß KOSTRA-DWD-2010R

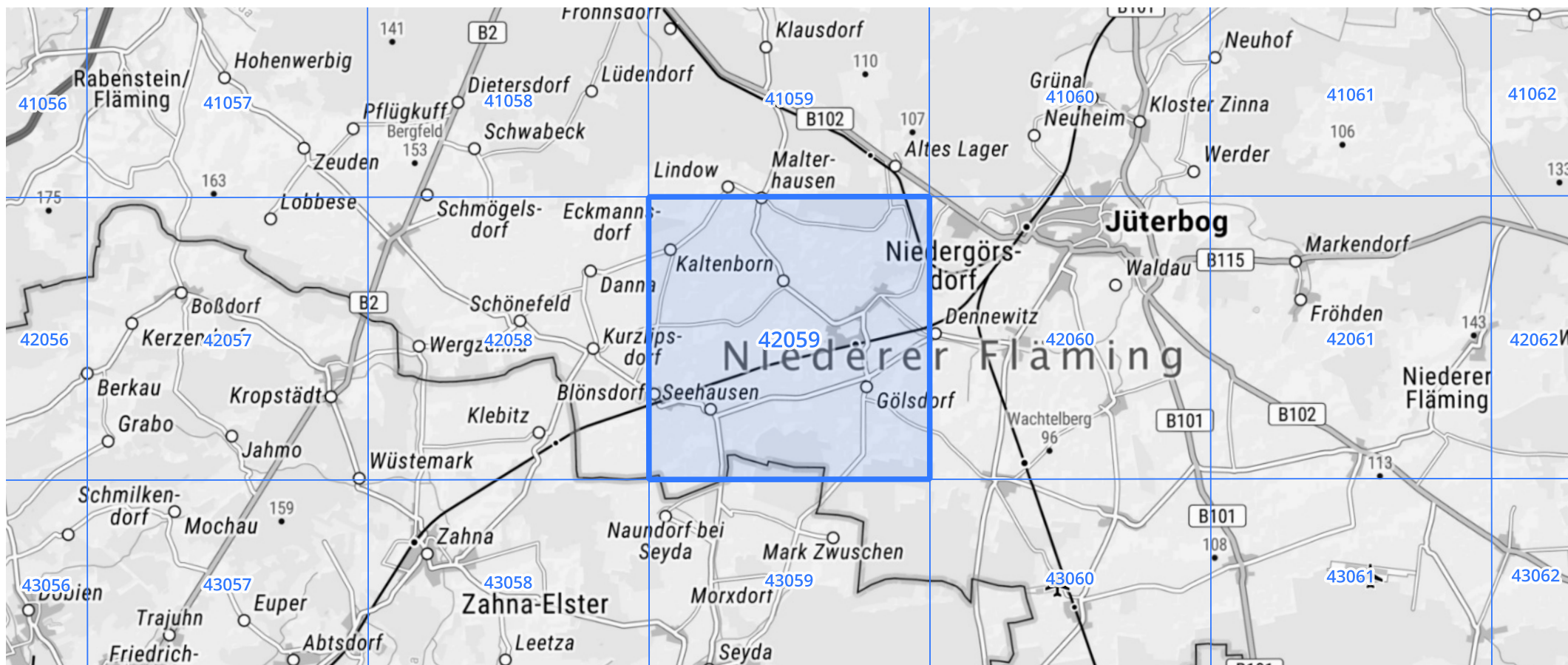
Auswertungszeitraum von 1951 - 2010, Januar - Dezember

Rasterfeld: 42059

Zeile: 42

Spalte: 59

Seite: 2/2



Quelle Rasterdaten: KOSTRA-DWD-2010R des Deutschen Wetterdienstes.

Kartendarstellung: © Bundesamt für Kartographie und Geodäsie (2022), Datenquellen: https://sgx.geodatenzentrum.de/web_public/gdz/datenquellen/Datenquellen_TopPlusOpen.html

Für die Richtigkeit und Aktualität der Angaben wird keine Gewähr übernommen. Erstellt 07/2022.